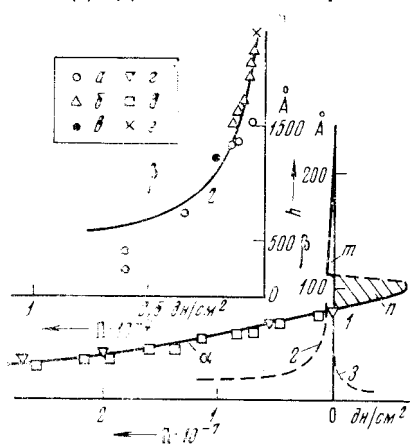
Член-корреспондент АН СССР Б. В. ДЕРЯГИН, Н. В. ЧУРАЕВ

ИЗОТЕРМА РАСКЛИНИВАЮЩЕГО ДАВЛЕНИЯ ПЛЕНОК ВОДЫ НА ПОВЕРХНОСТИ КВАРЦА

Состояние тонких слоев жидкостей может быть описано с помощью введенных в $(^{1-3})$ изотерм расклинивающего давления $h(\Pi)$, связывающих толщину пленки h с действующим в ней избыточным по сравнению с объемной фазой той же жидкости давлением Π . Изотерма $h(\Pi)$ для пленок воды на поверхности кварца имеет для случая неполного смачивания $(^4)$ S-образный вид (рис. 1, I). При формировании смачивающей пленки из объемной жидкости, например, путем прижатия пузырька воздуха к поверхности, реализуется (в области $\Pi > 0$) β -участок изотермы (рис. 1, 2), изображенный отдельно в более крупном масштабе на левом графике. Точки построены по экспериментальным данным работ $(^4, ^5)$. При достижении некоторого критического давления Π . β -пленки теряют устойчивость и скачкообразно переходят в более тонкие α -пленки. Для построения α -участка изотермы использованы результаты работ $(^6, ^7)$.

Важно выяснить, можно ли, используя представление о различных составляющих расклинивающего давления, количественно описать ход изотермы, в том числе и в области $\Pi < 0$.

Так как β-изотерма сильно меняется в зависимости от концентрации электролита (1, 5), стабильность β-иленки обусловлена в основном элект-



Рпс. 1. Изотерма расклинивающего давления $h\left(\Pi\right)$ пленки воды на стекле и кварце. $I-\alpha$ п β -участки, 2- значения Π_e , 3- значение Π_m ; $t=20-25^{\circ}$ С. a- вода на оплавленном стекле (1), $6-10^{-4}$ N NaCl на стекле (1), s- 2·10-5 N KCl на кварце (5); s- вода на стекле K-8 (6), d- вода на кварце (7), e- вода на кварце (5)

ростатической составляющей расклинивающего давления $\Pi_e > 0$. Достаточно хорошее совпадение с экспериментом дает, как видно на рис. 1, кривая 2, построенная по уравнению

$$\Pi_e = \frac{\pi e}{8} \left(\frac{RT}{eZ} \right) \frac{1}{h^2} \,. \tag{1}$$

Уравнение (1) получено для случая симметричного электролита и высоких постоянных потенциалов поверхности $\psi_0 > 100$ мв (8). Здесь $\varepsilon = 80$ диэлектрическая проницаемость воды; e — заряд электрона; Z = 1 — валентность понов. Экспериментальные данные согласуются также с ре-

зультатами расчетов Китченера (5) по неупрощенным уравнениям для Π_e при потенциале поверхности $\psi_0=-175$ мв. Эти значения ψ_0 отличаются, однако, от результатов измерений ζ -потенциала по потенциалу течения для кварца, составляющего при концентрации электролита (Z=1) $10^{-7}-10^{-5}$ мол/л -(40-80) мв (9, 10). Расхождения можно объяснить наличием неподвижных граничных слоев воды вблизи поверхности кварца.

В области малых толщин пленок следует учесть также действие молекулярных сил. Для молекулярной составляющей расклинивающего дав-

ления использовано уравнение

$$\Pi_m = -A / (6\Pi h^3). \tag{2}$$

Константа Гамакера A найдена по уравнениям макроскопической теории (11) с использованием упрощенного метода (12). Если исходить из спектральных характеристик объемной воды, $A=2,7\cdot 10^{-15}$ эрг. Тогда практически во всем диапазоне толщин $\Pi_m \ll \Pi_c$ и, следовательно, составляющую Π_m можно вообще не учитывать. Если же принять, что под влиянием поверхностных сил вода в α -пленке обладает повышенной на 1% илотностью и смещенными (из-за ослабления межмолекулярных H-связей) на 10% в сторону высоких частот максимумами полос поглощения в и.-к. и у.-ф. частях спектра, то $A=3,4\cdot 10^{-14}$ эрг *. Значения $h\left(\Pi_m\right)$ для этого случая показаны штриховой кривой 3 на рис. 1.

Сравнение кривых 2 и 3 с экспериментальной изотермой 1 (рис. 1) для α -области показывает, что ограничиваясь только двумя составляющими Π_c и Π_m , нельзя объяснить экспериментальные результаты.

Это приводит к необходимости учета третьей составляющей расклинивающего давления Π_s , обусловленной термодинамическими особенностями граничных слоев с измененной по сравнению с объемной водой структурой (3). Так как теория этого явления пока не развита, можно лишь на основании экспериментальных изотерм и значений Π_s и Π_m установить зависимость Π_s от толщины пленки. Для этого уточним сначала ход изотермы в области $\Pi < 0$, используя выражение (13), связывающее краевой угол θ между α -пленкой и объемной жидкостью (при $\Pi = 0$) с изотермой $h(\Pi)$:

$$\cos \theta = 1 + \frac{1}{\tau_{\infty}} \int_{b}^{\infty} \prod dh = 1 + \frac{1}{\tau_{\infty}} I, \tag{3}$$

где о∞ — поверхностное натяжение объемной жидкости.

Интеграл I в уравнении (3) равен сумме площадей n и m на рис. 1. Из уравнения (3), принимая $\theta \approx 10^{\circ}$ (14, 15), получим I=-1,05 эрг/см². По β -участку изотермы найдем площадь m=0,2 эрг/см² и определим затем n=I-m=-1,25 эрг/см². На рис. 1 показан построенный по этим данным участок изотермы в области $\Pi<0$. Заштрихованная площадь n ограничена горизонтальной прямой $h_*=110$ Å и продолжением α -участка изотермы в область $\Pi<0$. При этих условиях она оказывается равной рассчитанной, т. е. -1,25 эрг/см². Нижняя ветвь графика в эгой области отвечает метастабильным состояниям пересыщения, а верхняя— лабильным состояниям пленки. Естественно, этот вариант изотермы является приближением, которое должно быть уточнено после получения более надежных данных о значениях h_* , Π_* и θ .

В проведенных расчетах мы исходили из предположения, что α- и β-участки принадлежат одной изотерме. В работе (16) был рассмотрен также и другой случай, когда α- и β-участки относятся к двум изотермам, характеризующим две различные структурные модификации смачивающих пленок, между которыми непрерывный переход невозможен. В этом

^{*} Если принять, что α -пленка имеет пониженную на 1% плотность (сдвиг в сторону льдообразной структуры), то значения Π_m меняют знак ($A=-3.3\cdot 10^{-14}$ эрг).

случае значения одной только площади I недостаточны для установления хода изотермы в области $\Pi < 0$.

Так как Π_m и Π_s при h < 110 Å много меньше суммарного давления Π , то в этой области толщин функция $h(\Pi_s)$ близка к изотерме $h(\Pi)$. Таким образом, устойчивость тонких иленок воды (при h < 110 Å) определяется фактически только одной—структурной составляющей расклинивающего давления Π . Этот вывод подтверждается сильной температурной зависимостью толщины α -иленок, обнаруженной в работе (17). Как известно, при повышении температуры разрушается ажурный каркас H-связей в структуре воды, что приводит к уменьшению структурных отличий граничных слоев и их толщины. Структурные изменения воды, близкие поверхности кварца (при $20-25^{\circ}$ С), распространяются, как видно из рис. 1, на расстояние до 80-100 Å, что близко к другим независимым оценкам толщины граничных слоев (15).

Нетрудно заметить, что в интервале значений $h=80-110~{\rm \AA}~\Pi_s\approx\Pi<0$, а при $h<80~{\rm \AA}~\Pi_s\approx\Pi>0$. Таким образом, знак составляющей раскли-

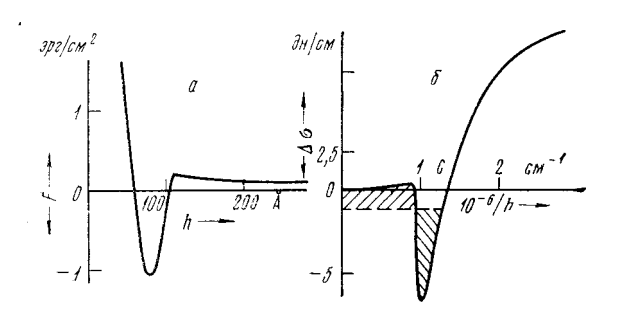


Рис. 2. Потенциальная кривая (a) и уравнение состояния (б) пленки воды на поверхности кварца

нивающего давления Π_s меняется при уменьшении толщины α -пленки. Этот вывод находится в согласии с гипотезой так называемого «подплавленного» слоя, переходного между собственно граничным слоем и объемной жидкостью (19, 20).

На рис. 2 a показана построенная на основании найденной изотермы $h(\Pi)$ (рис. 1) потенциальная

кривая
$$F(h) = \int_{h}^{\infty} \Pi \ dh$$
,

выражающая избыточную свободную энергию системы, связанную с единицей площади пленки. Как видно, область метастабильных β -пленок отделена от устойчивого α -состояния потенциальным барьером высотой ~ 0.2 эрг/см². Этот барьер может преодолеваться не только при утоичении β -пленки, по также и при увеличении ее площади в связи с ростом вероятности флуктуативного образования зародышей, стабильной α -фазы в метастабильной β -пленке (15). Глубина потенциальной ямы (~ 1 эрг/см²) близка к оценкам, полученным для свободных черных пленок также на осповании краевых углов смачивания (21).

В работах (4, 22) в качестве основного уравнения состояния пленок были предложены зависимости $\sigma(1/h)$. На рис. 26 построена такая зависимость для $\Delta \sigma = \sigma - \sigma_{\infty}$, причем значения $\Delta \sigma$ были подсчитаны по уравнению $\Delta \sigma = \Pi h + F(h)$. Как показано в работе (22), значение $\sigma = \sigma_0$ для α -пленки при $\Pi = 0$ отвечает равенству заштрихованных площадей. Точка C на графике характеризует толщину h_0 (при $\Pi = 0$) α -пленки, образующей в равновесии с объемной жидкостью краевой угол $\theta = 10^{\circ}$, удовлетворяющий соотношению $\cos \theta = \sigma_0/\sigma_{\infty}$. Для области β -пленки значения $\Delta \sigma$, оставаясь положительными, стремятся к 0 при $h \to \infty$. Натяжение α -пленок толщиной h > 75 Λ повышено по сравнению с σ_{∞} . Таким образом, знак $\Delta \sigma$ может меняться в зависимости от кривизны мениска объемной жидкости, находящейся в равновесии с α -пленкой.

Институт физической химии Академии наук СССР Москва

Поступило 14 VII 1972

ЦИТИРОВАННАЯ ЛИТЕРАТУРА

¹ В. В. Дерягин, М. М. Кусаков, Изв. АН СССР, сер. хим., 1936, 741; 1937, 1119; В. V. Dегјадиіп, М. М. Киззакоv, Асtа Physicochim. U.R.S.S., 10, 25, 153 (1939). ² Б. В. Дерягин, М. М. Кусаков, Л. С. Лебедева, ДАН, 23, 668 (1939). ³ Б. В. Дерягин, Тр. Всесоюзн. конфер. по коллоидн. химии, Киев, 1950, Киев, 1952, стр. 26; Колл. журн., 17, 207 (1955). ⁴ А. Н. Фрумкин, ЖФХ, 12, 337 (1938). ⁵ А. D. Read, J. A. Kitchener, «Wetting», Lond. Soc. Cheml. Ind., Monogr., № 25, 1967, р. 300; J. Coll. Interface Sci., 30, 391 (1969); Т. D. ВІаке, Ј. А. Кіtchener, J. Chem. Soc., Farad. Soc., 68, 1435 (1972). ⁶ Б. В. Дерягин, З. М. Зорин, ЖФХ, 29, 1755 (1955). ⁷ А. С. Наіl, J. Phys. Chem., 74, 2742 (1970). ⁸ В. В. Дерягин, Л. Д. Ландау, ЖЭТФ, 15, 663 (1945). ⁹ О. Н. Григоров, Н. А. Новикова, Колл. журн., 17, 278 (1955). ¹⁰ Н. С. Li. Р. L. de Вгиуп, Surface Sci., 5, 203 (1966). ¹¹ И. Е. Дзялошинский, Е. М. Лифшиц, Л. П. Питаевский, ЖЭТФ, 37, 229 (1959). ¹² В. W. Ninham, V. A. Parsegian, J. Chem. Phys., 52, 4578 (1970). ¹³ Б. В. Дерягин, ЖФХ, 14, 137 (1940); Асtа Physicochim. U.R.S.S., 12, 181 (1940). ¹⁴ В. П. Сафронов, Сборн. Вопр. физики формообразования и фазовых превращений, Тула, 1970, стр. 113. ¹⁵ М. М. Викторина, Б. В. Дерягин и др., ДАН, 200, 1306 (1971). ¹⁶ Б. В. Дерягин, Л. М. Шербаков, Колл. журн., 23, 40 (1961). ¹⁷ В. Д. Перевертаев, М. С. Мецик, Колл. журн., 28, 254 (1966). ¹⁸ З. М. Зорин, В. Д. Соболев, Н. В. Чураев, ДАН, 193, 630 (1970); Thin Liquid Films and Boundary Layers, London — N. Y., 1971, p. 213. ¹⁹ Б. В. Дерягин, Ю. Шутори др., ДАН, 161, 147 (1965). ²⁰ W. Drost-Hansen. Ind. Eng. Chem., 61, 10 (1969). ²¹ Г. Ниізтап, К. Л. Муреls, J. Phys. Chem., 73, 489 (1969). ²² Б. В. Дерягин, Г. А. Мартынов, Ю. В. Гутоп, Колл. журн., 27, 357 (1965).